

# Kerne und Teilchen

Physik VI

Vorlesung # 14 1.6.2010

Guido Drexlin, Institut für Experimentelle Kernphysik

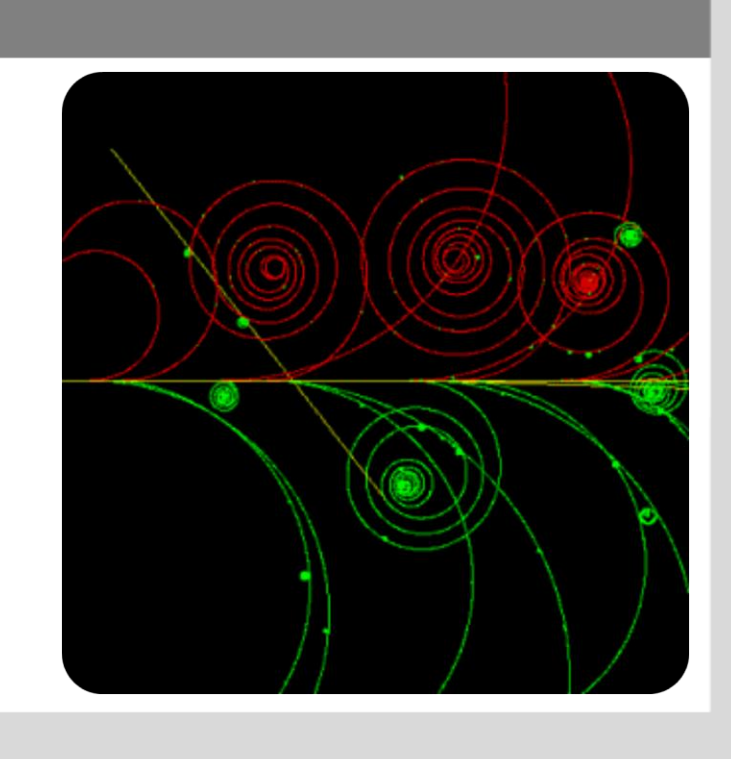


- Vektorbosonen W±, Z<sup>0</sup>: Eigenschaften

#### Beschleuniger und Detektoren

- Wechselwirkung von Strahlung & Materie
- Bethe-Bloch: Ionisationsverluste
- radiative Prozesse leichter Teilchen
- Landau-Vavilov Verteilung



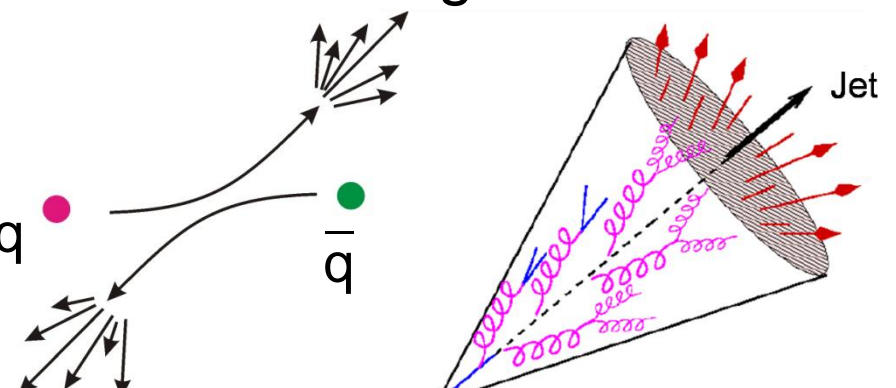


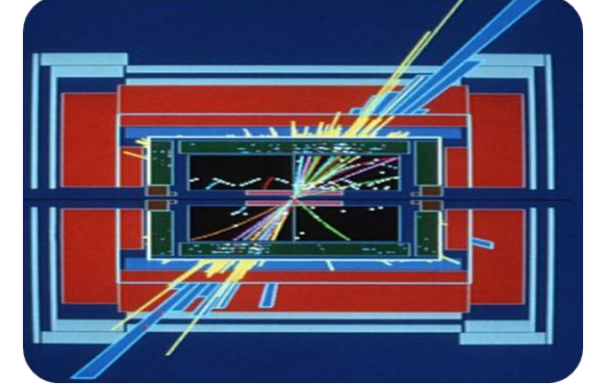
# Selbstwechselwirkung von Gluonen

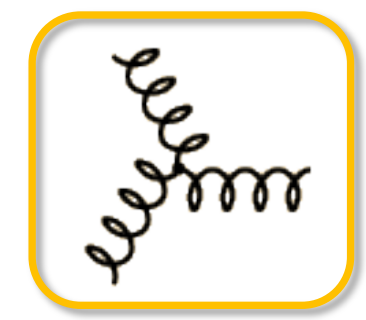
■ Gluonen als farb-geladene Eichbosonen der SU(3)<sub>Color</sub> Symmetrie

unterliegen einer Selbstwechselwirkung:

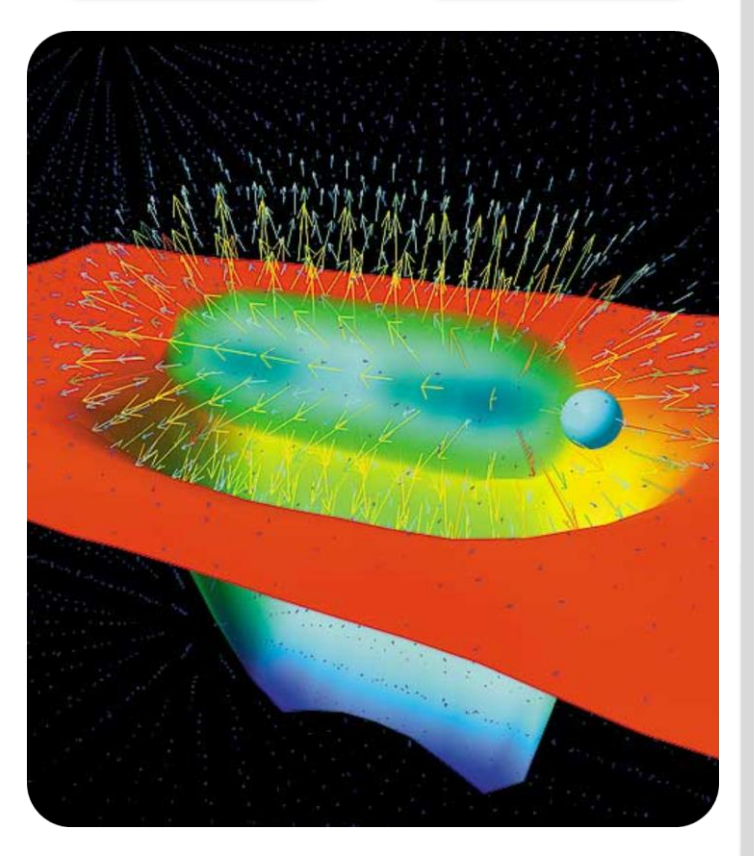
- Existenz der hypothetischen Gluonenbälle?
- bei einer räumlichen Trennung eines qq-Paares erzeugen die Gluonen enge Farb-Flussschläuche
  - ♥ Quark-Confinement in Baryonen & Mesonen
  - Asymptotische Freiheit bei sehr kleinen qq-Abständen: Quarks als quasi-freie Teilchen (Partonen) bei der eN Streuung
  - ➡ Hadronisation eines getrennten qq-Paares: Ausbildung einer Jet-Struktur im Detektor











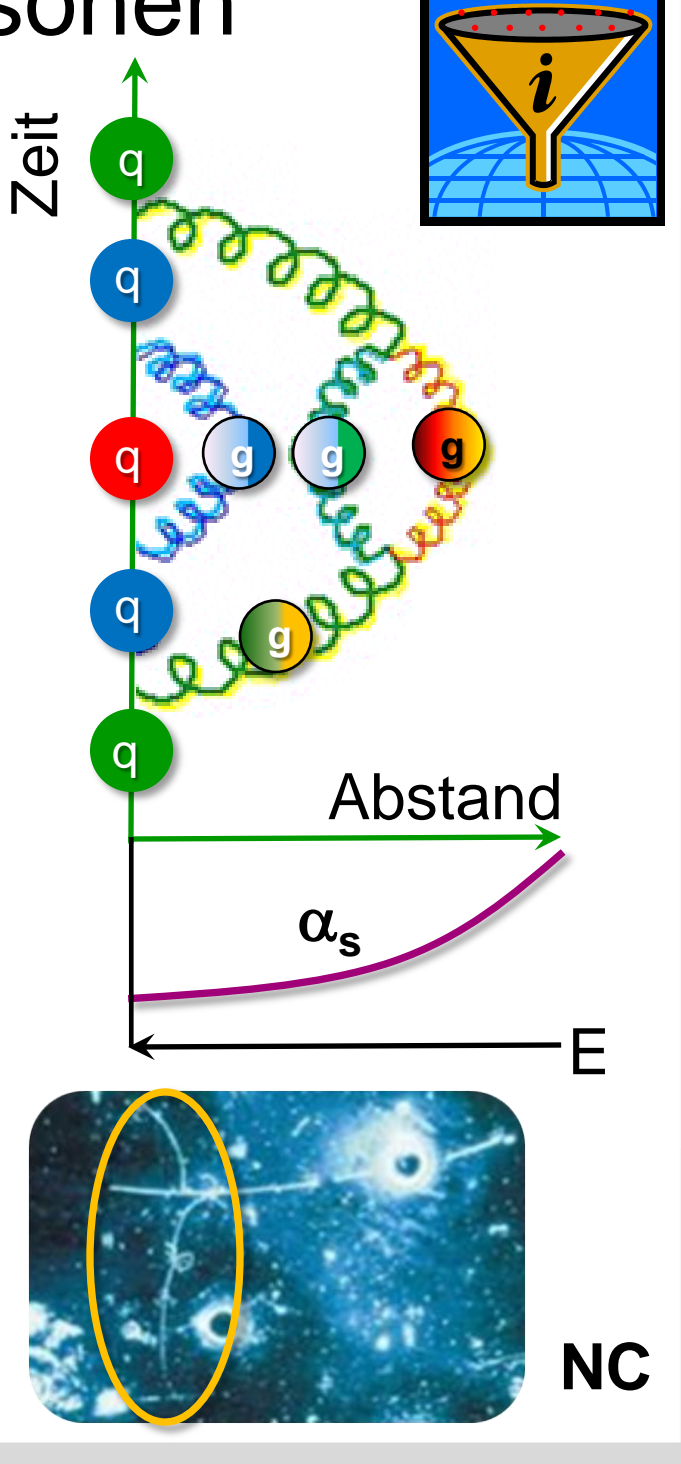
1.6.2010

# QCD - Vakuumpolarisation, Vektorbosonen

QCD-Vakuumpolarisation

die "nackte" Quark-Farbladung wird modifiziert:

- **Abschirmung** durch virtuellen Quark-Antiquark Paare (Analogie zur QED-Vakuumpolarisation)
- Anti-Abschirmung durch Gluonen-Emission
   \$\sqrt{\text{Verschmierung der Farbladung auf Volumen}}\$
   laufende starke Kopplungs konstante α<sub>s</sub> :
- α<sub>s</sub> wird kleiner bei höherer Energie/größerem Q²/
   kleineren Abständen (♥ asymptotische Freiheit)
- α<sub>s</sub> wird größer bei fallender Energie / kleinerem Q² / größeren Abständen (♥ Confinement)
- Elektroschwache Wechselwirkung WSG-Modell: Vereinheitlichung von schwacher & elektromagnet. Wechselwirkung mit Vorhersage: schwacher neutraler Strom (Z<sup>0</sup> mit M = 91.2 GeV)

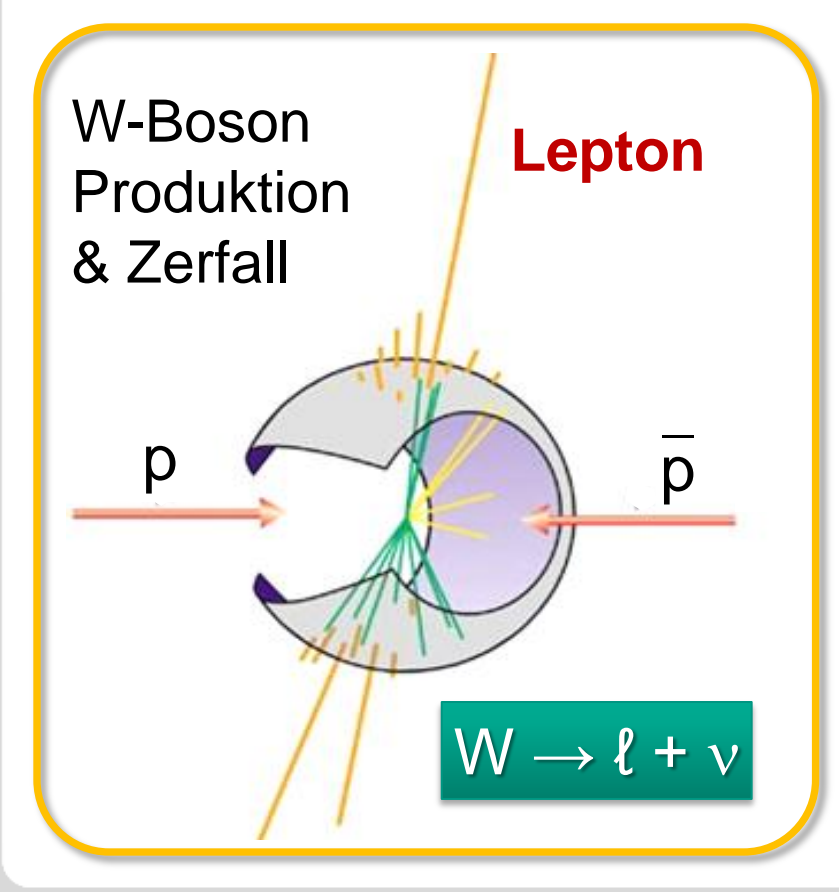


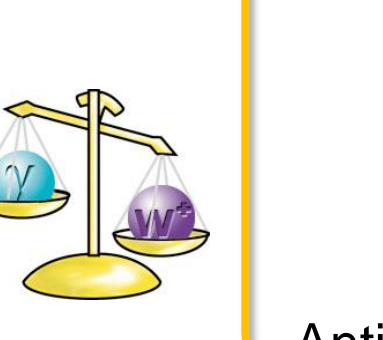
### Vektorbosonen am CERN

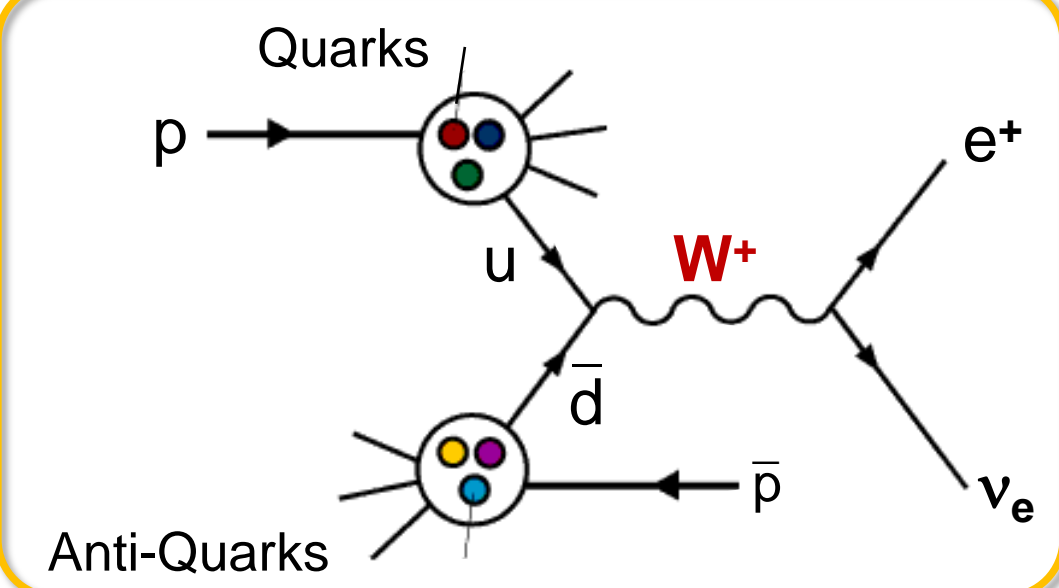


■ die intermediären Vektorbosonen W+, W- & Z<sup>0</sup> des GSW-Modells wurden in Proton-Antiproton Kollisionen bei Energien E = 400 GeV nachgewiesen,

#### **Erzeugung** durch:







- der Nachweis der reellen Bosonen erfolgt über Zerfallsprozesse in hochenergetische Leptonen:
  - ightharpoonup W+ ightharpoonup e+  $m v_e$  W+ ightharpoonup  $m W^+ 
    ightharpoonup$   $m \mu^+ + 
    m v_\mu$

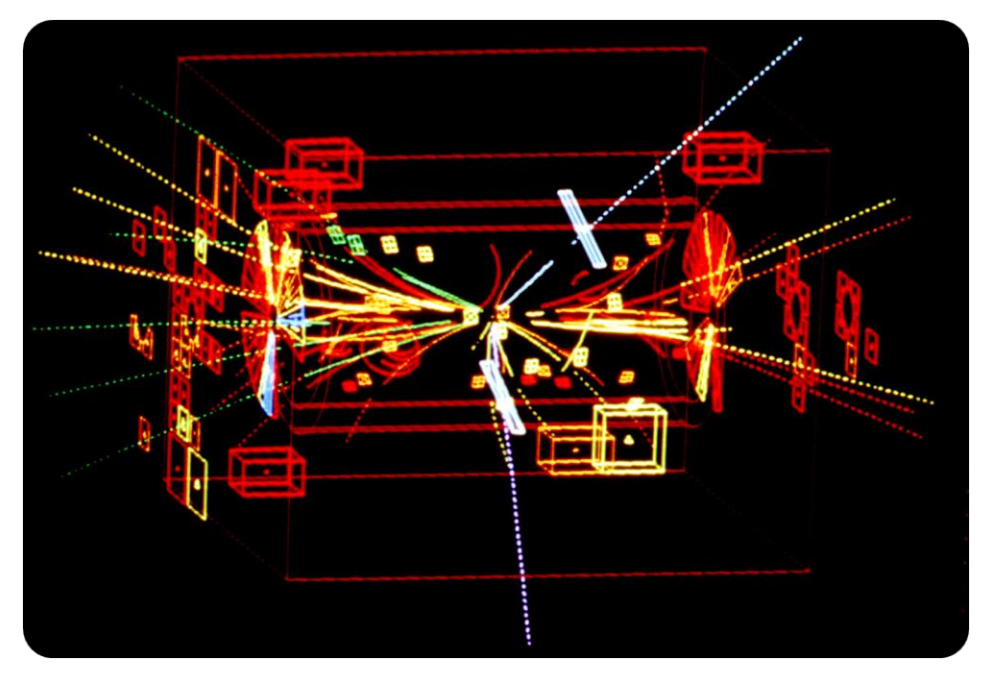
1 HE-Lepton & fehlender Transversalimpuls (v)

$$2^{0} \rightarrow e^{+} + e^{-}$$
  $Z^{0} \rightarrow \mu^{+} + \mu^{-}$ 

### Nachweis von W<sup>±</sup> & Z<sup>0</sup> am CERN



- 1983: der experimentelle Nachweis der intermediären Vektorbosonen erfolgte am CERN SPS Beschleuniger in den Experimenten UA1 und UA2
- UA1, April 1983: erster beobachteter **Zº Zerfall** in ein hochenergetisches Leptonenpaar (e+,e-) jedes Lepton hat E ~ 45 GeV



Nobel 1984



Carlo Rubbia, S. van der Meer





### Zerfälle von W<sup>±</sup> & Z<sup>0</sup>



1989-2000: nach Inbetriebnahme des LEP (Large Electron-Positron Collider) werden am CERN die W<sup>±</sup> und Z<sup>0</sup> Zerfallsmoden detailliert untersucht:

#### W<sup>±</sup> Zerfallsmoden

6/9 = 2/3 in Hadronen

das W-Boson koppelt an alle (linkshändigen) Fermionen mit gleicher Stärke an, z.B. für W<sup>-</sup>:

- 3 Lepton-Dubletts  $(v_e, e^-)$ ,  $(v_u, \mu^-)$ , ...
- aber nur 2 Quark-Dubletts, da das top-Quark zu schwer: (u,d), (c,s)

1:1:1:3:3



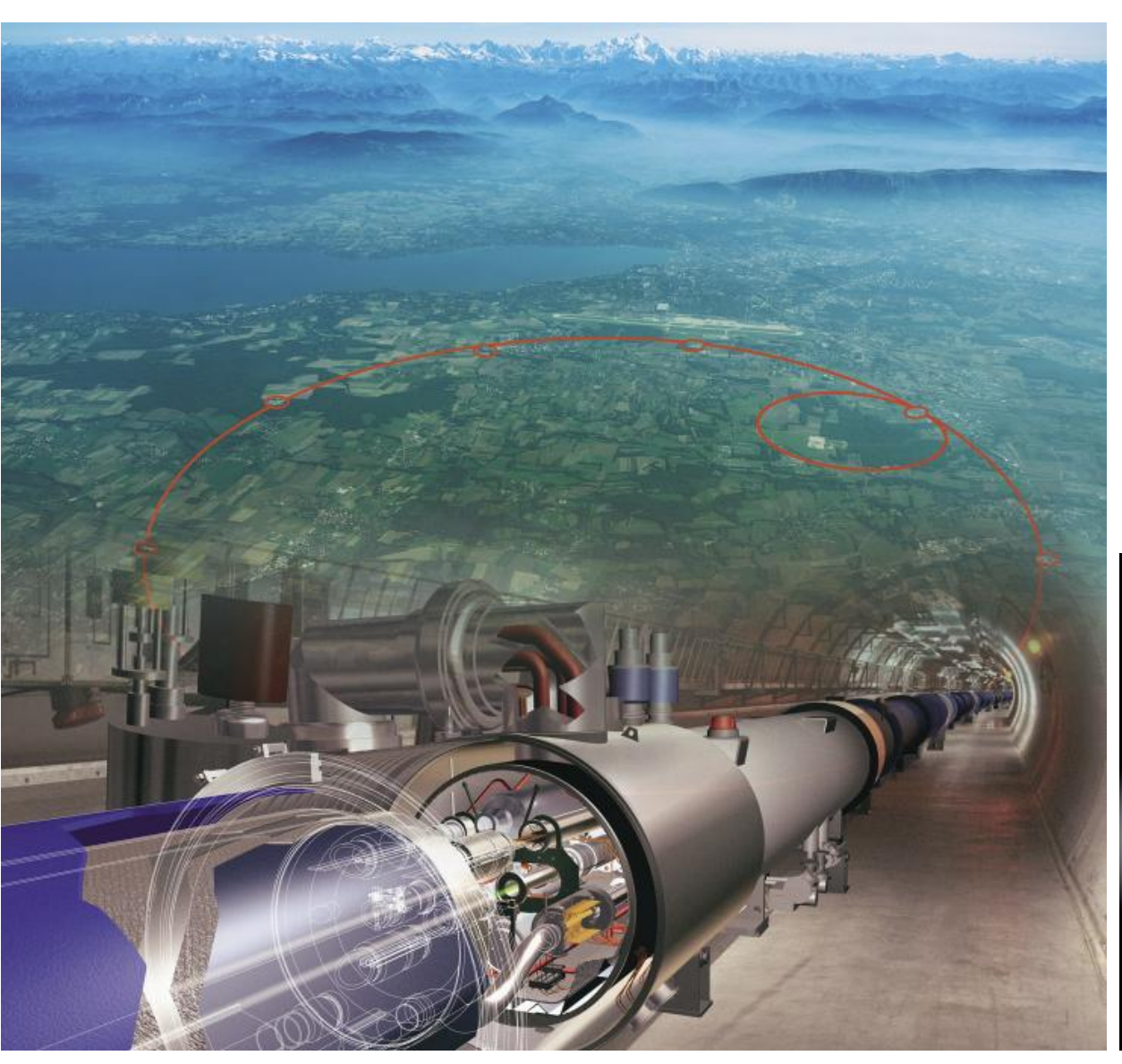
#### Zº Zerfallsmoden

6 leptonische Kanäle:  $(v_e, \overline{v}_e)$ ,  $(v_u, \overline{v}_u)$ ,  $(v_\tau, \overline{v}_\tau)$ ,  $(e^+, e^-)$ ,  $(\mu^+, \mu^-)$ ,  $(\tau^+, \tau^-)$ 5 hadronische Kanäle:  $(u, \overline{u})$ ,  $(d, \overline{d})$ ,  $(s, \overline{s})$ ,  $(c, \overline{c})$ ,  $(b, \overline{b})$  (zusammen ~70%)  $Z^0$  koppelt auch an elektr. Ladung, daher 3.35% pro  $(\ell^+, \ell^-)$  & 6.7% pro  $(\nu, \overline{\nu})$ 

# 6. Beschleuniger und Detektoren

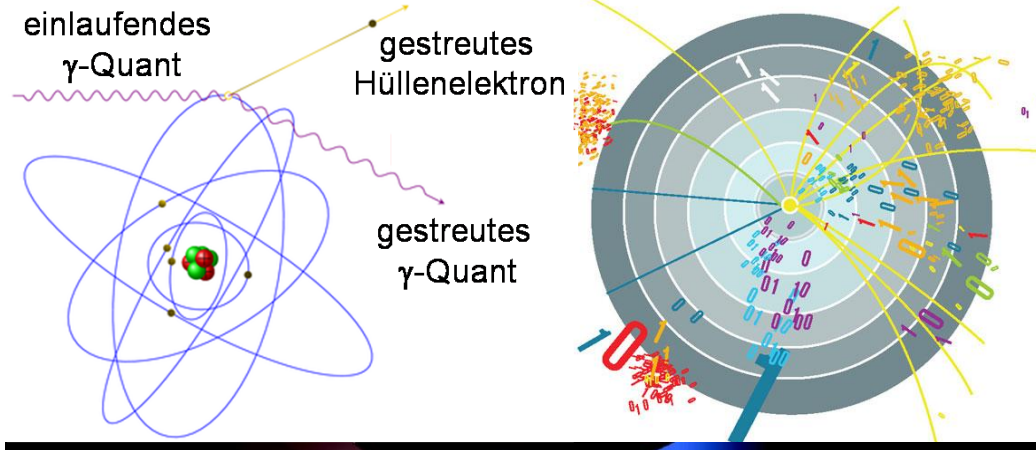


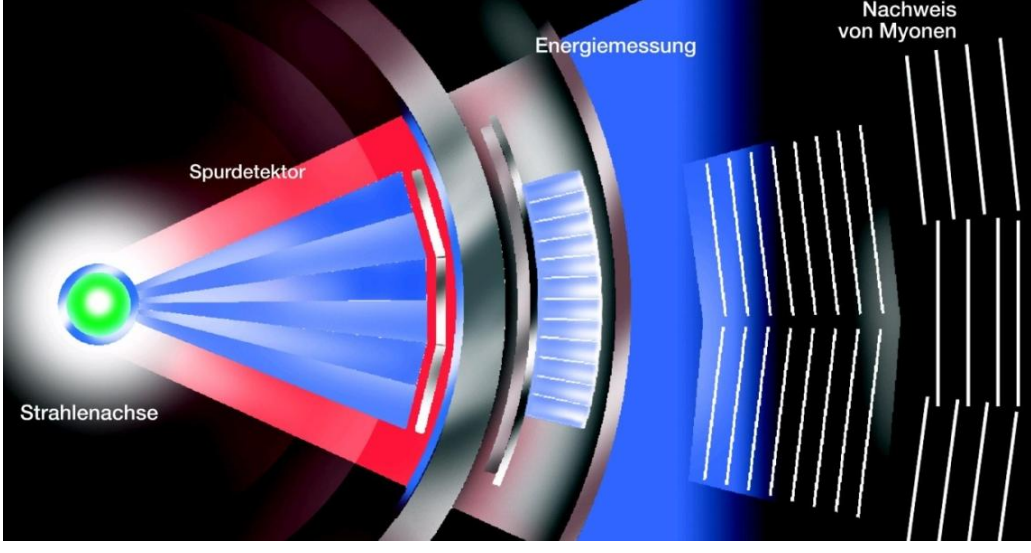
#### 6.1 Wechselwirkung von Strahlung mit Materie



1.6.2010

# 6.2 Beschleunigertypen6.3 Moderne Teilchendetektoren

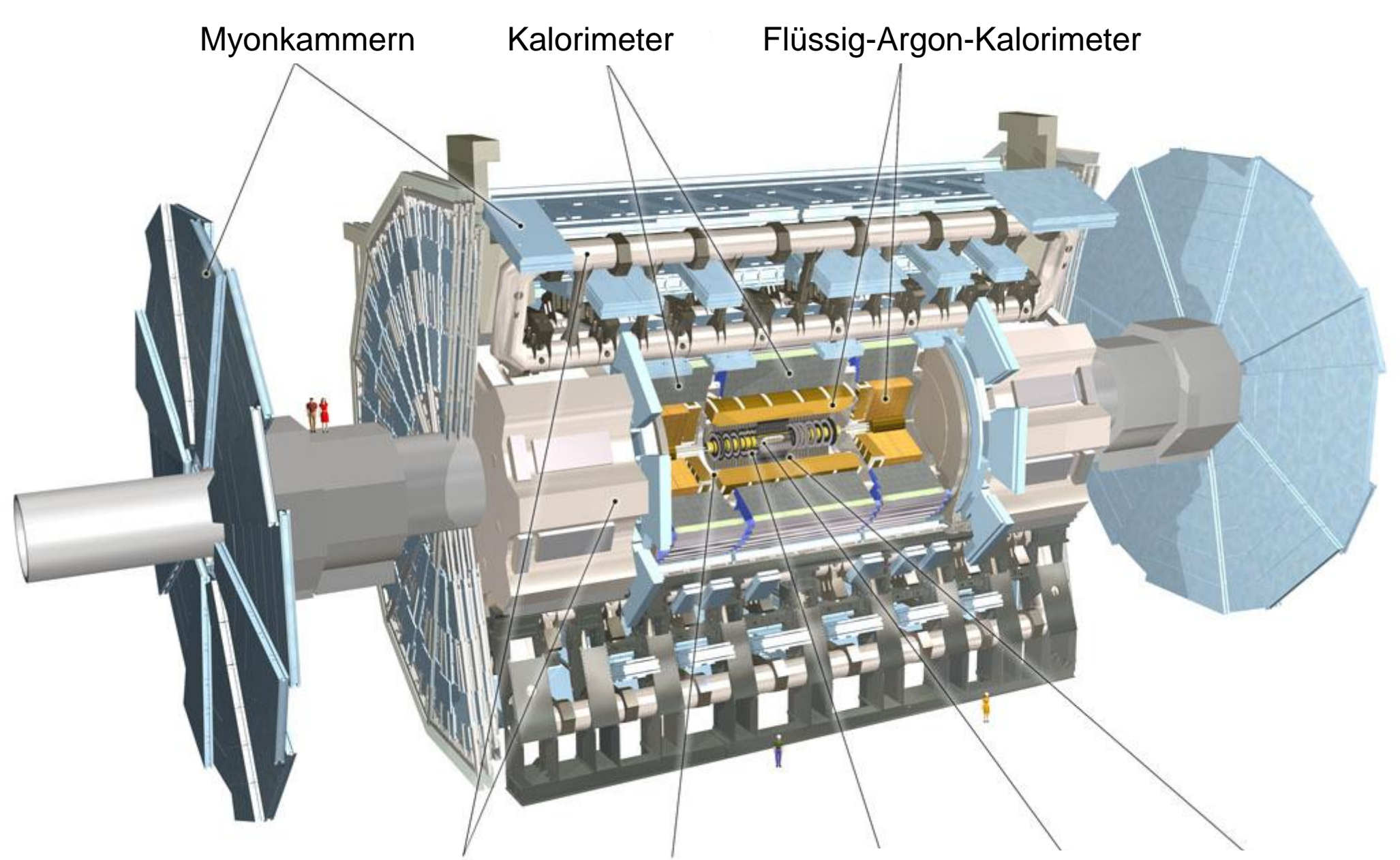




G. Drexlin – VL14 KIT-IEKP

### ATLAS am LHC





toroidale Magnete Solenoid Magnet SCT Tracker Pixeldetektor TRT Tracker

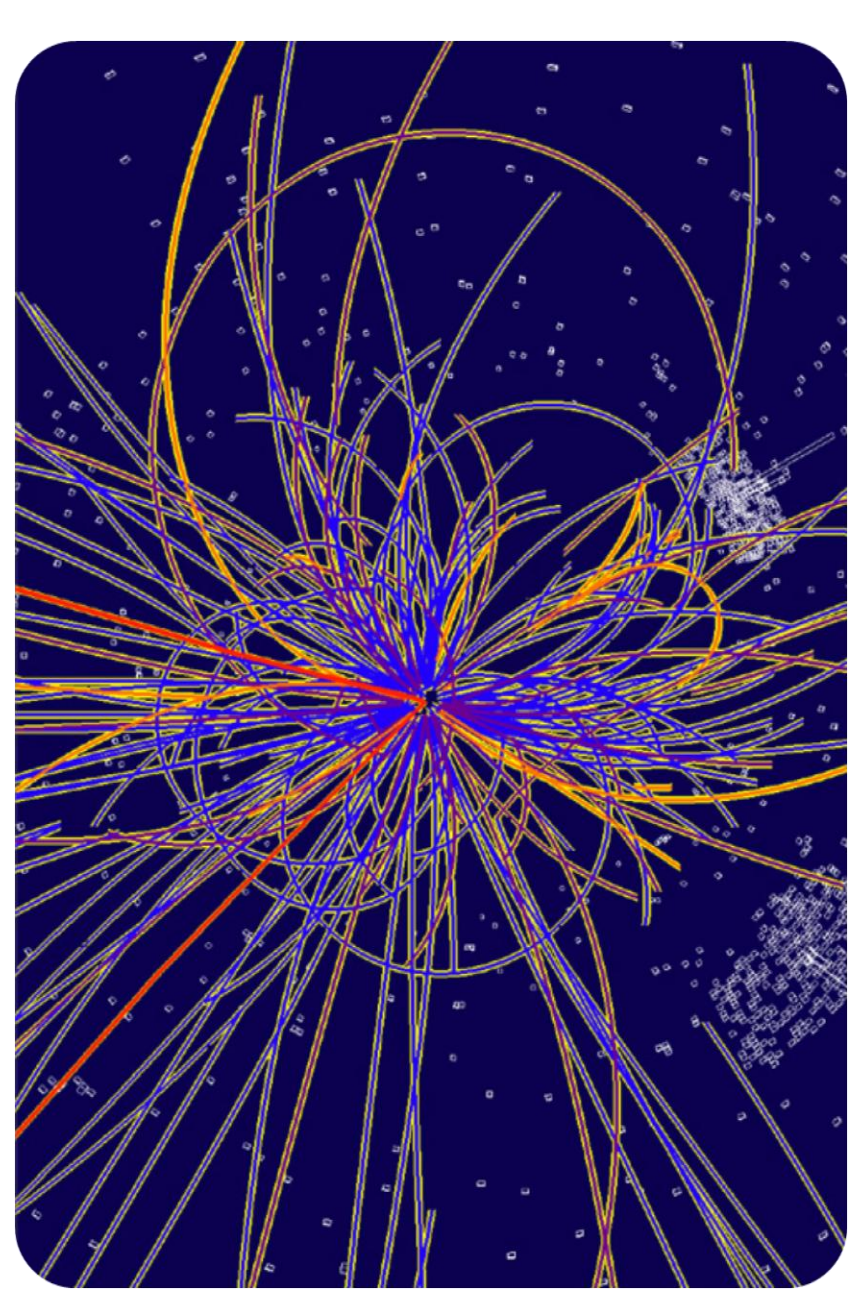
1.6.2010

# Teilcheneigenschaften





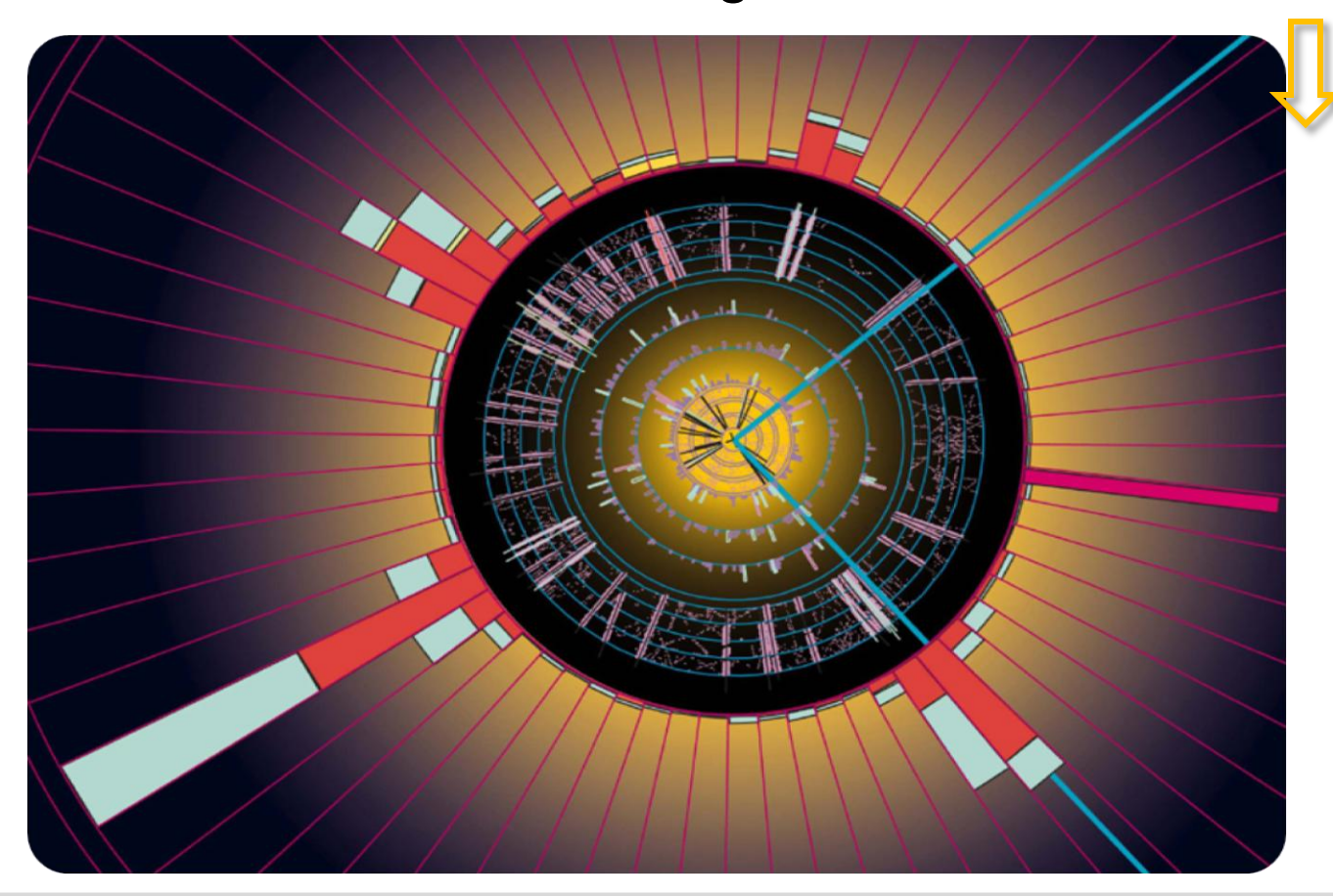
"WE'VE PROVEN, WITHOUT A DOUBT, THAT THIS PARTICLE HAS A NEGATIVE CHARGE. UNFORTUNATELY AN ACCELERATION IN SWITZERLANDIES PROVEN, WITHOUT A DOUBT, THAT ITHE A POSITIVE CHARGE."



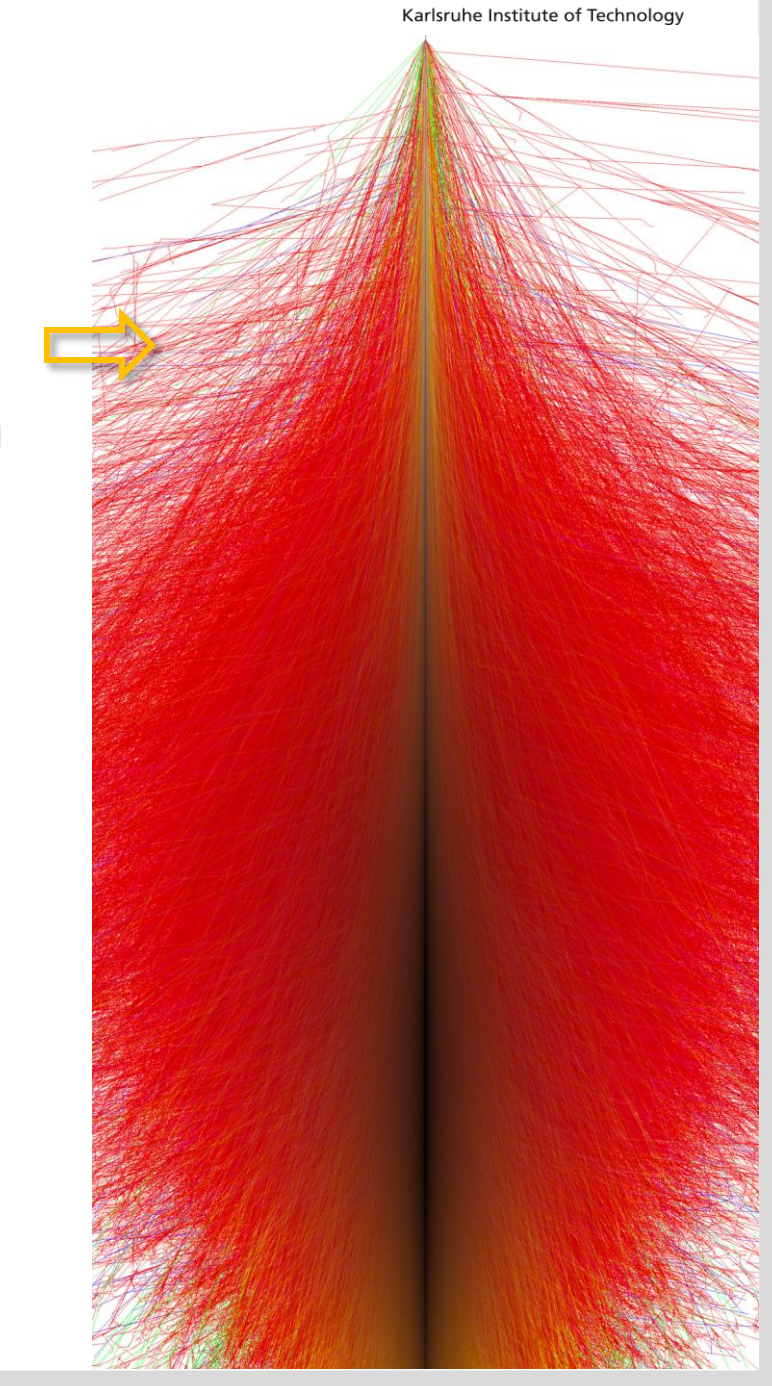
1.6.2010

# 6.1 Wechselwirkung von Strahlung & Materie

■ die Wechselwirkung von Strahlung (geladene & ungeladene Teilchen) mit Materie ist wichtig für das Verständnis & die Optimierung von modernen Detektorsystemen & Teilchen-Beschleunigern ⇔ detaillierte Modellierung der Prozesse erforderlich

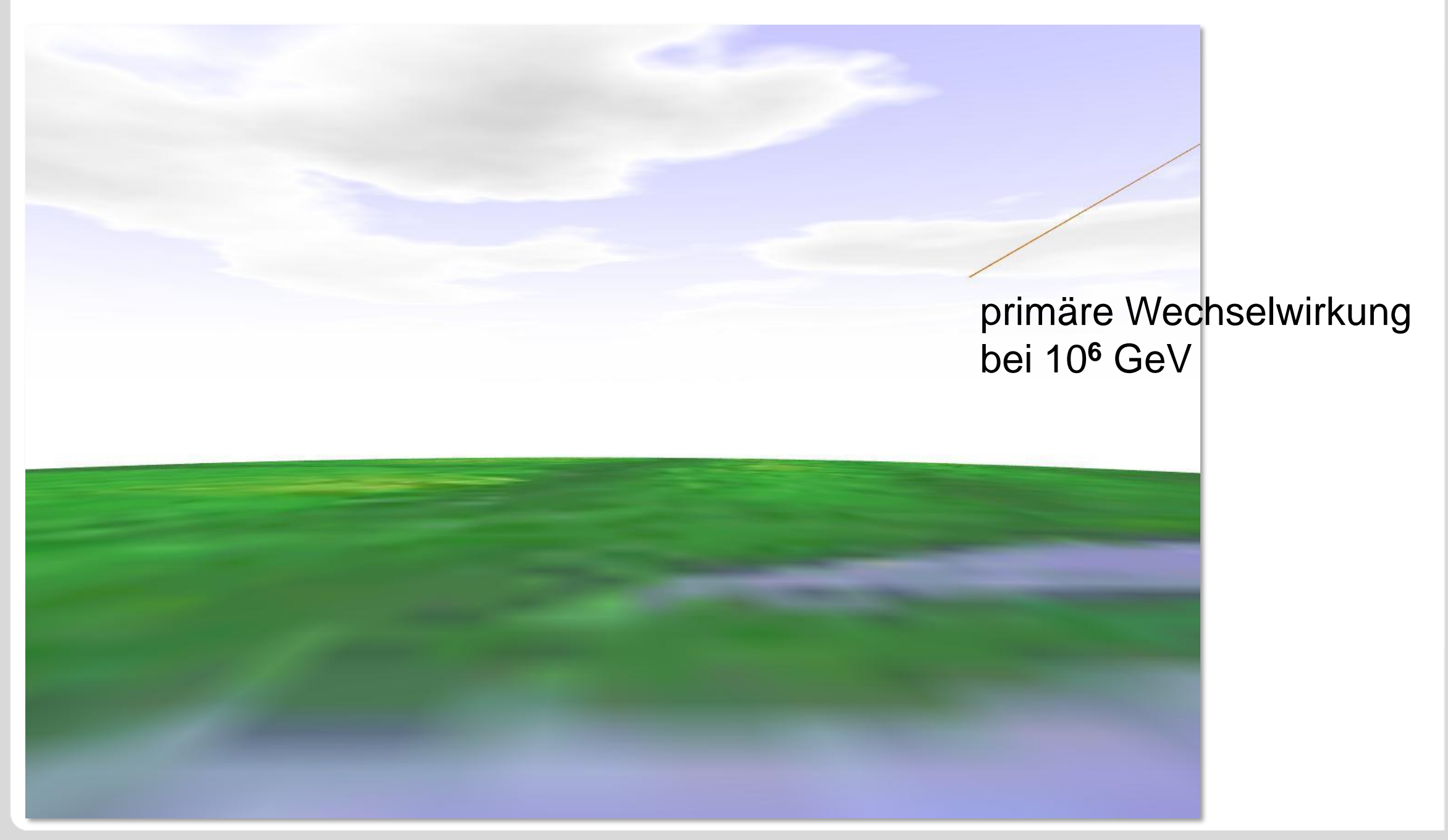


10

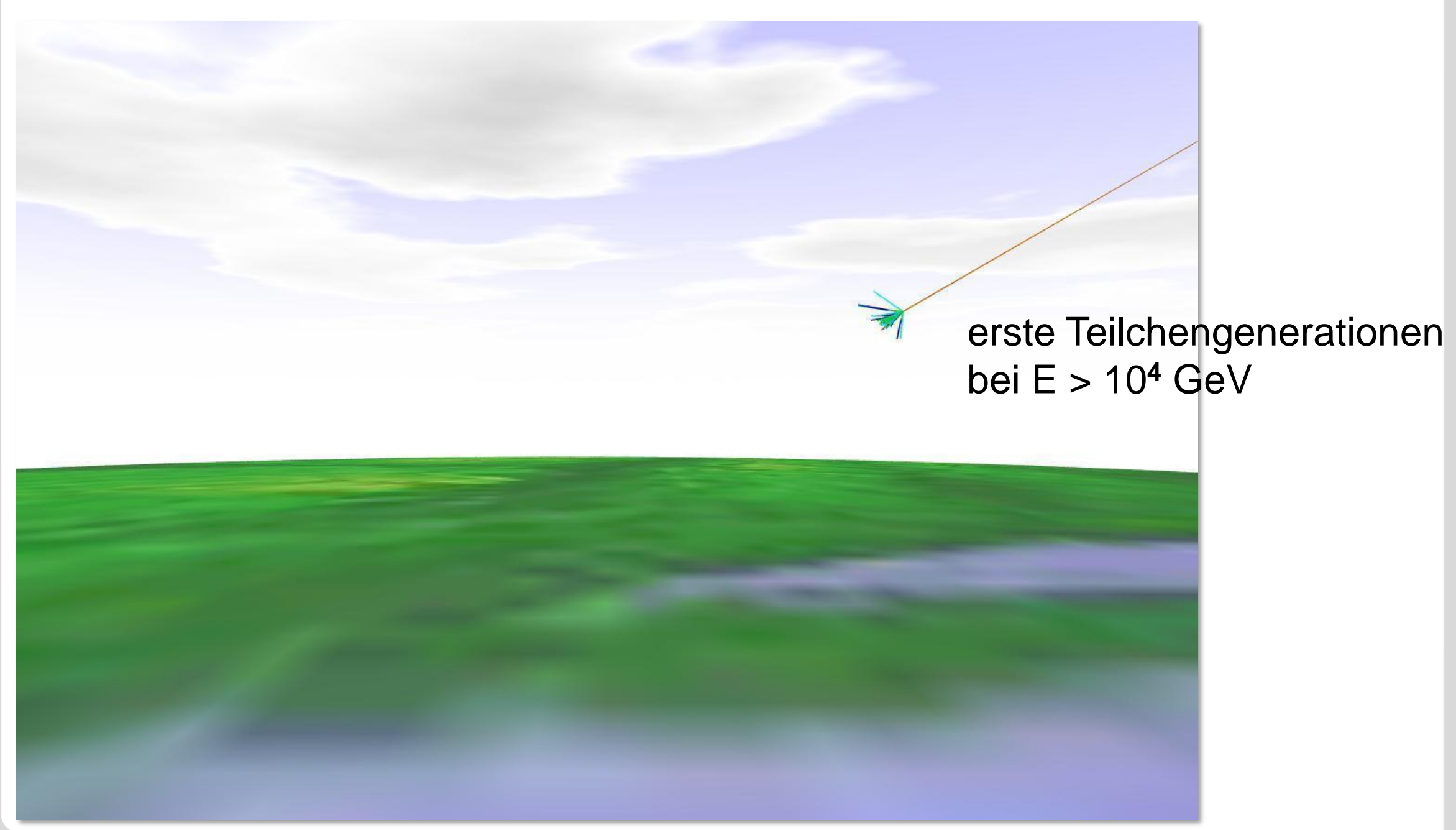


1.6.2010 G. Drexlin – VL14 KIT-IEKP

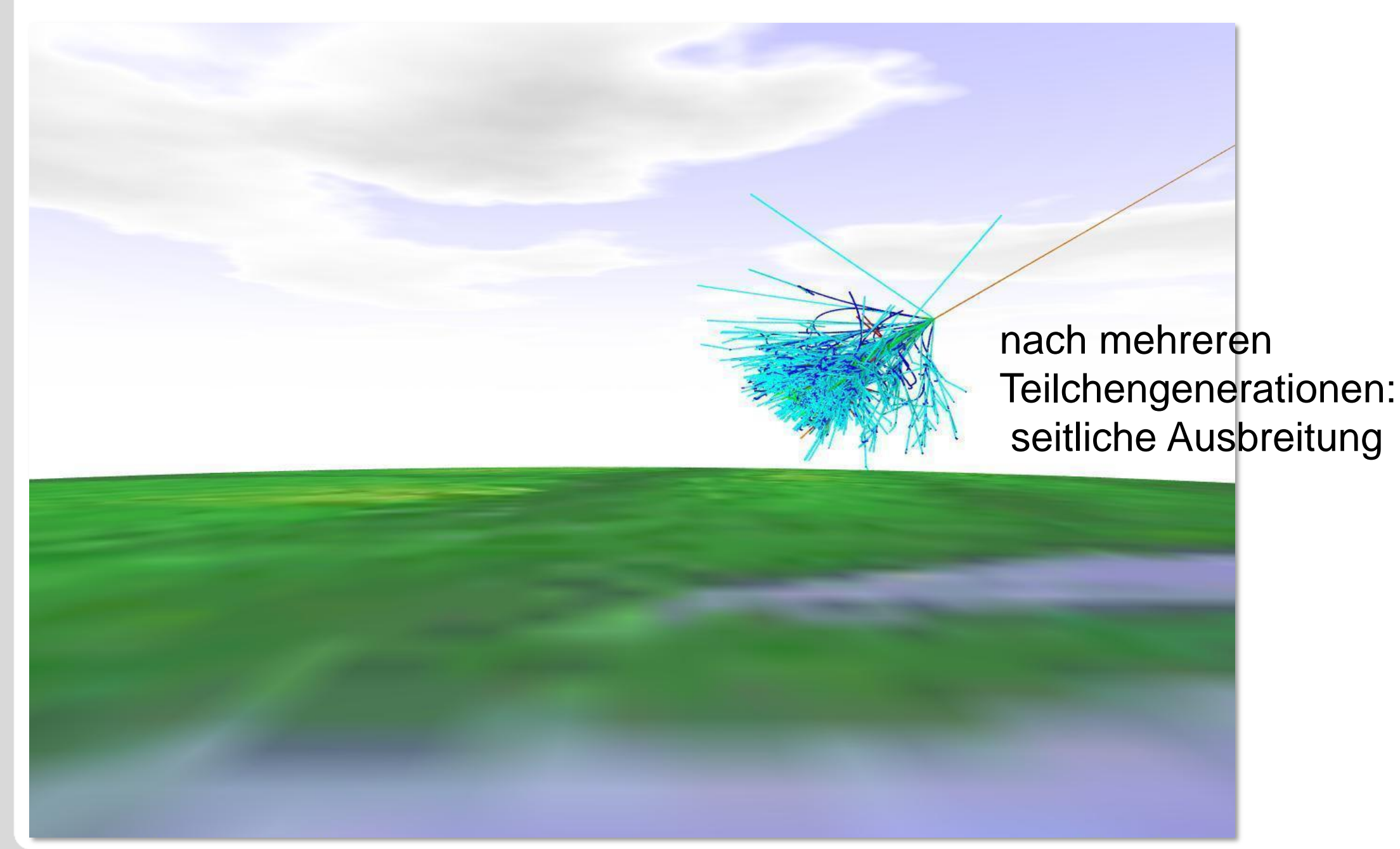




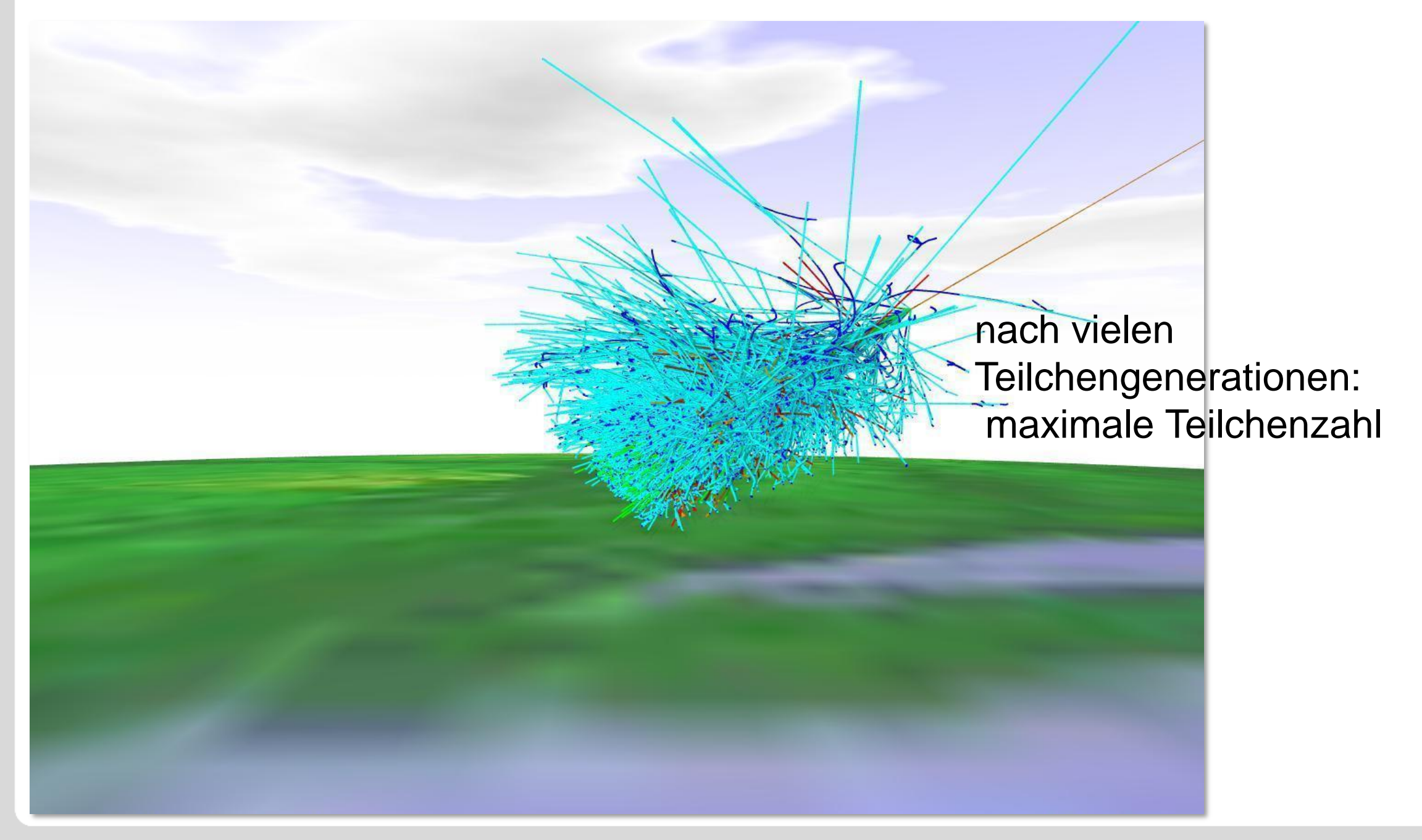




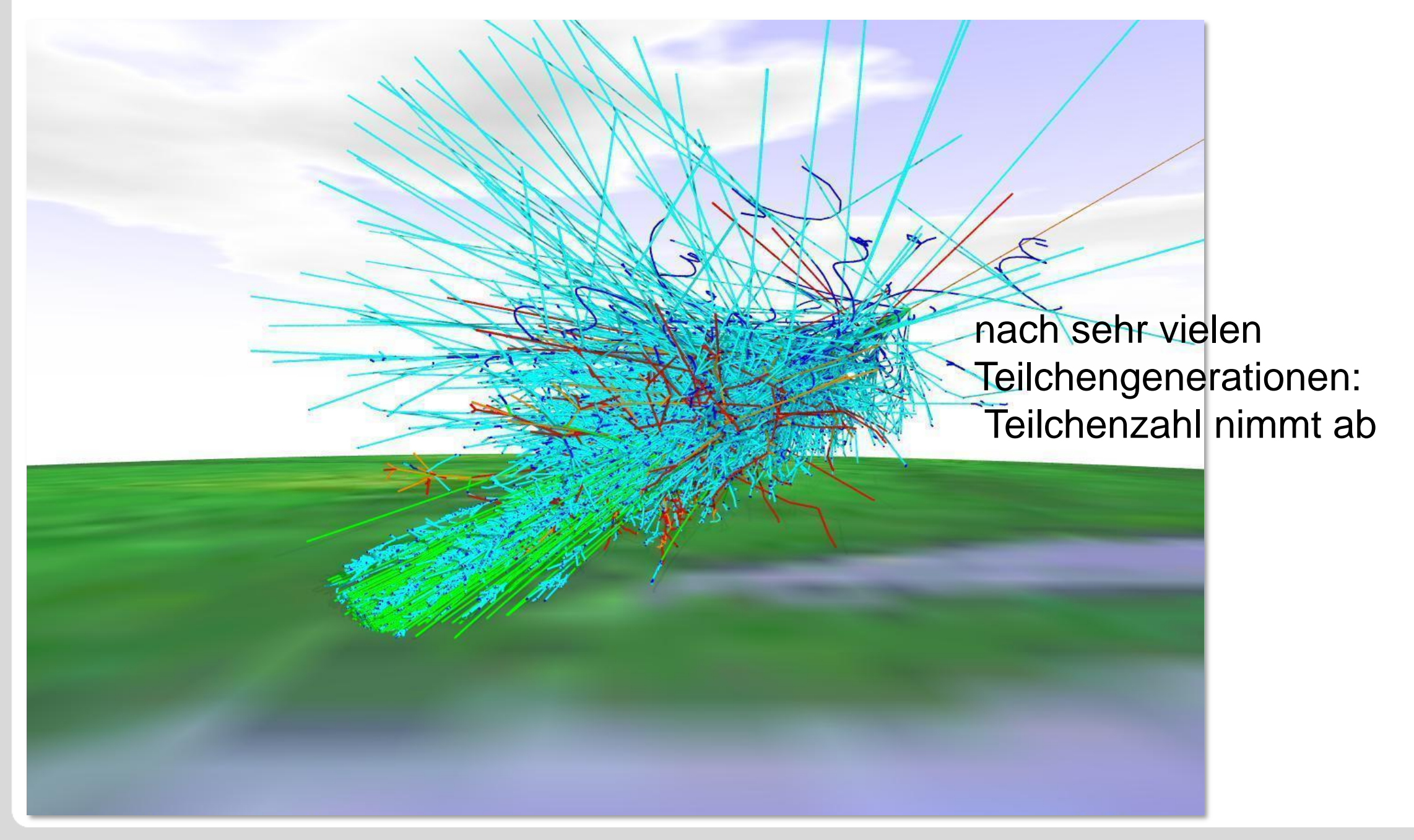












# Wechselwirkung von Strahlung & Materie

verschiedene Wechselwirkungseffekte dominieren je nach
 Teilchenart, Energiebereich & Nachweismedium



#### **Teilchenart**

16

#### geladene Teilchen (z = Ladung des Projektils)

 $\alpha$ , e<sup>+</sup>,  $\mu^-$ , <sup>92+</sup>U-Ion,  $\Omega^{--}$ , p,  $\pi^-$ , ... (elektromagnet. Wechselwirkung dominant) Beispiele: Ionisation, atomare Anregung, Cherenkov-Strahlung, ...

- leichte Teilchen: e<sup>-</sup>, e<sup>+</sup>, ...
- schwere Teilchen: μ<sup>±</sup>, π<sup>±</sup>, ρ<sup>±</sup>, p, (c, b-Quarks), Schwerionen (<sup>92+</sup>U), ...

#### ungeladene Teilchen (z = 0)

 $\gamma$ , n,  $\nu$ ,  $\pi^0$ ,  $\rho^0$ , neutrale Atome, ...

Beispiele: Comptoneffekt, Photoeffekt, Streuung an Elektronen/Kernen

- nur schwache Wechselwirkung: Neutrinos
- starke/elektromagnetische Wechselwirkung: neutrale Pionen, ρ<sup>0</sup>
- nur elektromagnetische Wechselwirkung: γ

1.6.2010 G. Drexlin – VL134 KIT-IEKP

# Wechselwirkung von Strahlung & Materie



verschiedene Wechselwirkungseffekte dominieren je nach
 Teilchenart, Energiebereich & Nachweismedium

#### Energiebereich

eV: thermische Neutronen, Licht, Sekundär-Elektronen aus Ionisation

keV: Elektronen aus dem ß-Zerfall, Röngtenstrahlung

**MeV**: Alpha-Teilchen, γ-Strahlung von Kernen, Zyklotrone

GeV: Teilchen aus Synchrotronen

**TeV**: Teilchen an Hochenergiebeschleunigern LHC, Tevatron, TeV-γ's

>TeV: Teilchen aus kosm. Beschleunigern: µ-Quasare, SMBH, SNR

#### Nachweismedium

Eigenschaften des Mediums:

- Kernladung, Dichte, Temperatur (Phase: kondensiert, gasförmig)
- Magnetfeld, elektrisches Potenzial, supraleitend, normal/halbleitend

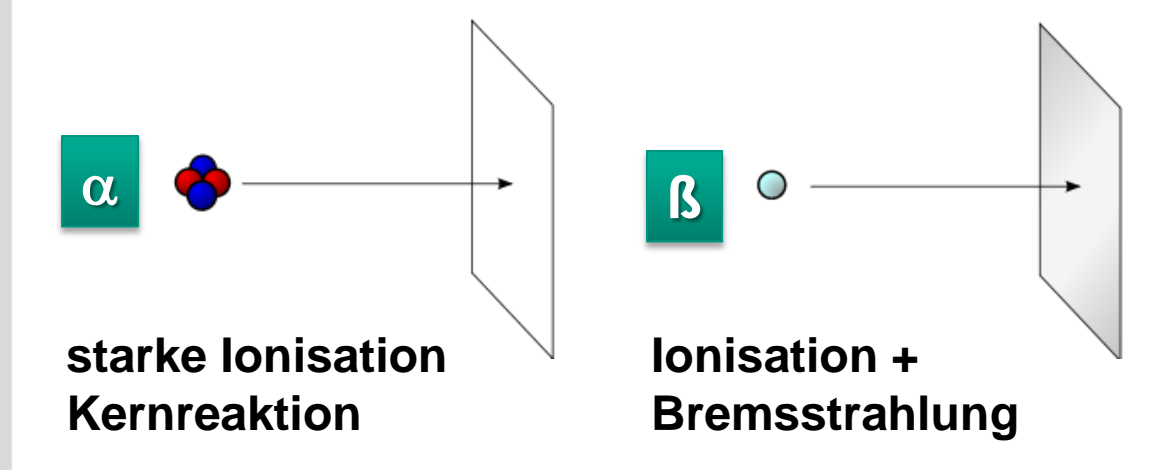
G. Drexlin – VL14 KIT-IEKP

1.6.2010

### geladene & neutrale Teilchen



### geladene Teilchen



#### **Prozesse**

Ionisation: dominanter Prozess

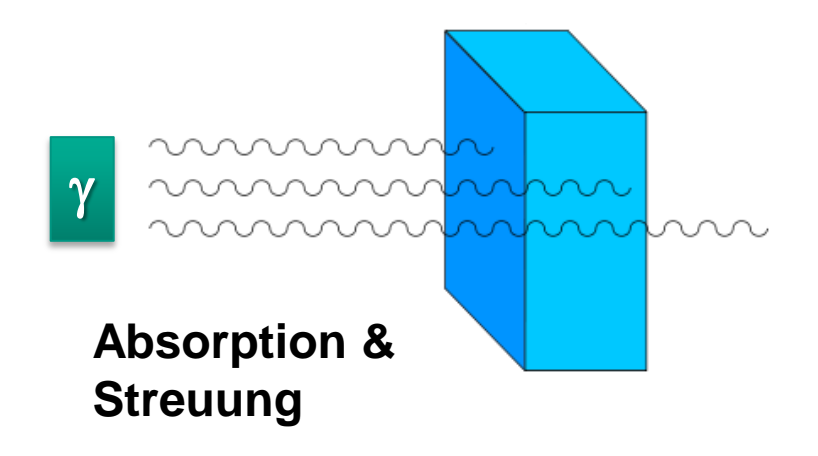
Absorption: selten (nur bei Kernreaktion)

Streuung: Molieretheorie (kleines  $d\theta$ )

Kaskade: meist nur bei Elektronen

definierte Reichweite

#### neutrale Teilchen



#### **Prozesse**

Absorption: Photoeffekt

Streuung: Comptoneffekt

Kaskade: Paarerzeugung

exponentielle Abschwächung keine definierte Reichweite

### Wechselwirkung von geladenen Teilchen



#### Ionisationsprozesse

- Prozess: inelastische Teilchenstöße mit den Hüllenelektronen

- Resultat: Ionisation & Anregung der Atomhülle (Ionisationspotenzial)

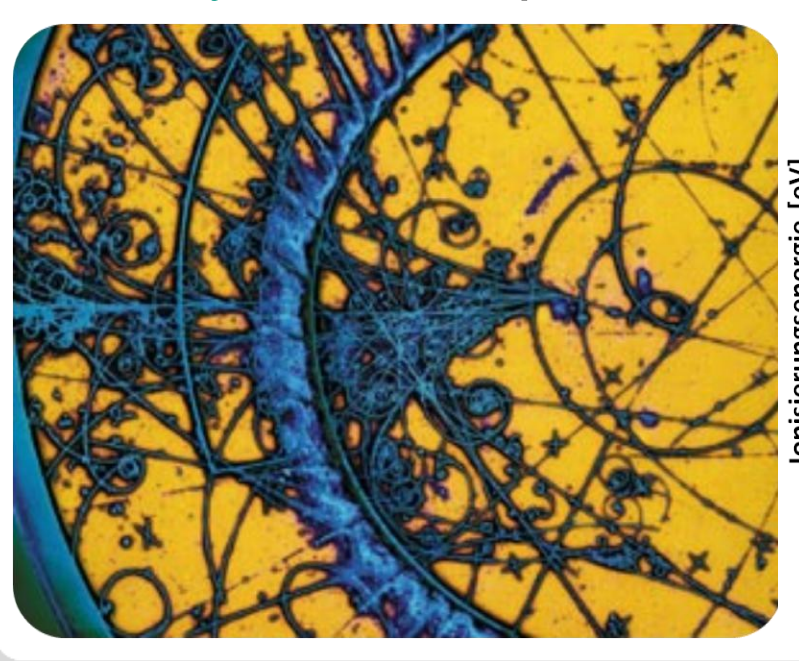
- Teilchenart: dominiert bei allen schweren Teilchen (Myonen, Protonen, ...)

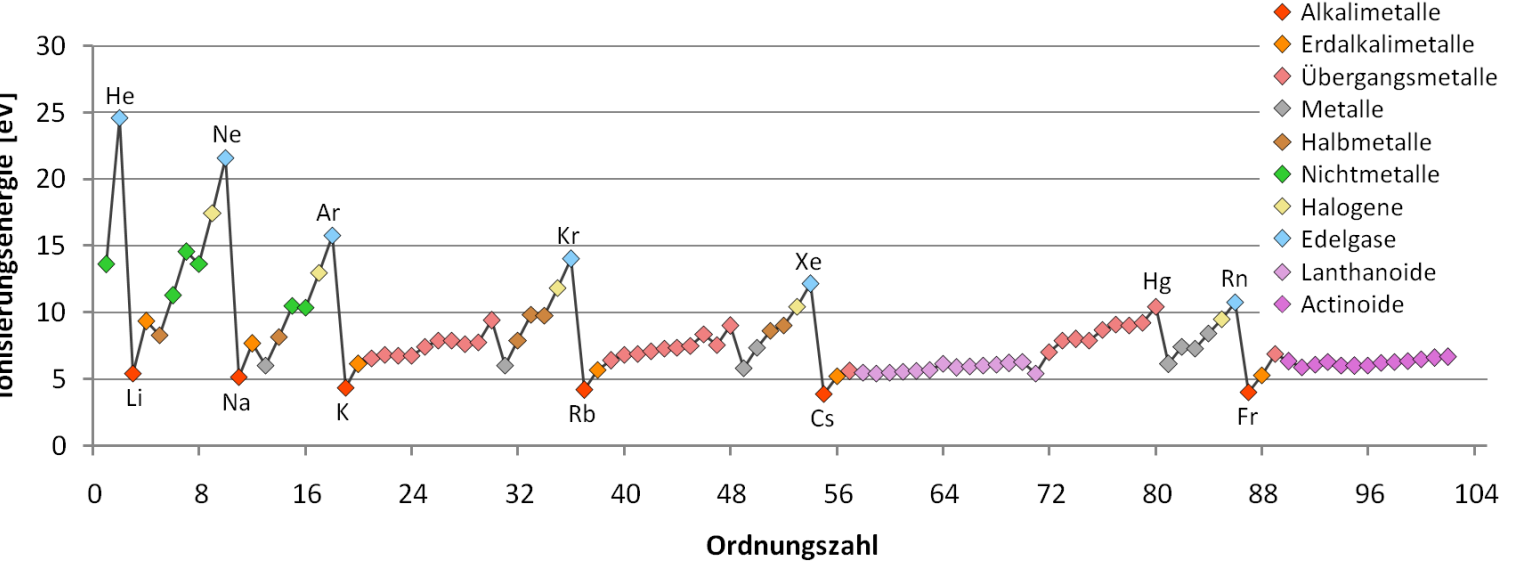
⇒ spezifischer Energieverlust dE/dx eines Teilchens

- Nachweis: Drift der Ladungsträger (Elektronen & Ionen) zu Elektroden,

Drähten, Erzeugung von Gasbläschen, ...

- Physik: Spurrekonstruktion, Reichweite, Ereignistopologie



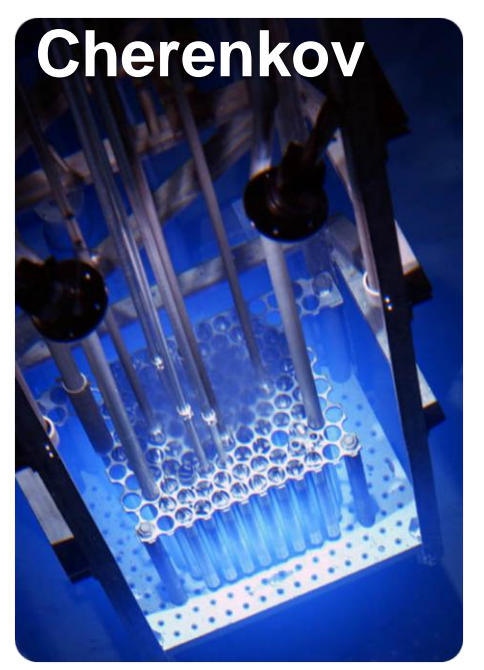


### Wechselwirkung von geladenen Teilchen



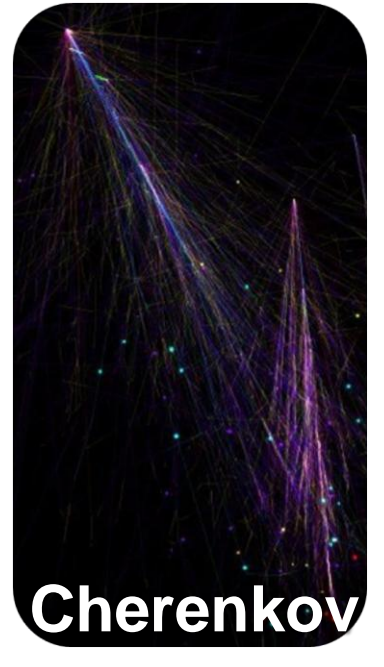
#### Strahlungsverluste

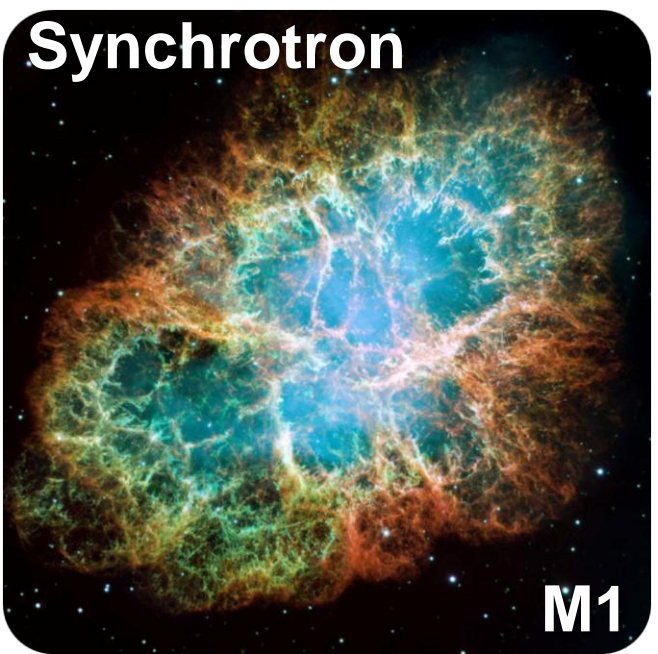
- physikalischer Prozess: Wechselwirkung mit elektromagnet. Feldern, Medium
- Resultat: Emission von elektromagnetischer Strahlung (µeV GeV)
  - ⇒ Brems-, Synchrotron-, Cherenkov- & Übergangs- Strahlung
- Teilchenart: dominiert bei leichten Teilchen (e+ & e- bei hohen Energien)
- Nachweis: abhängig von λ: Radio-, optischer, Röntgen-, Gamma-Bereich
- Physik: Energiespektrum der e<sup>+</sup>/e<sup>-</sup>, Magnetfelder

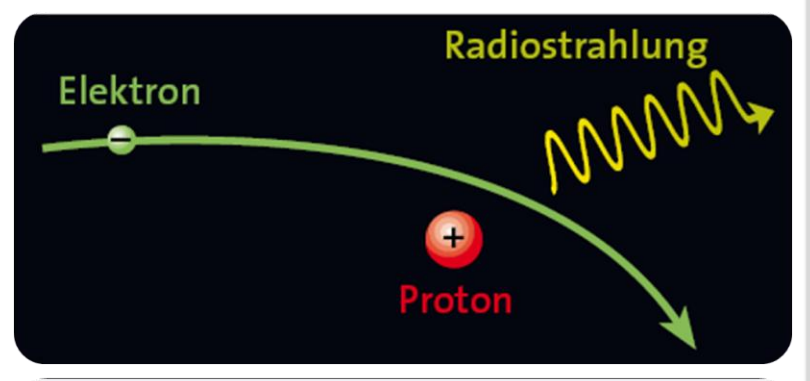


1.6.2010

20









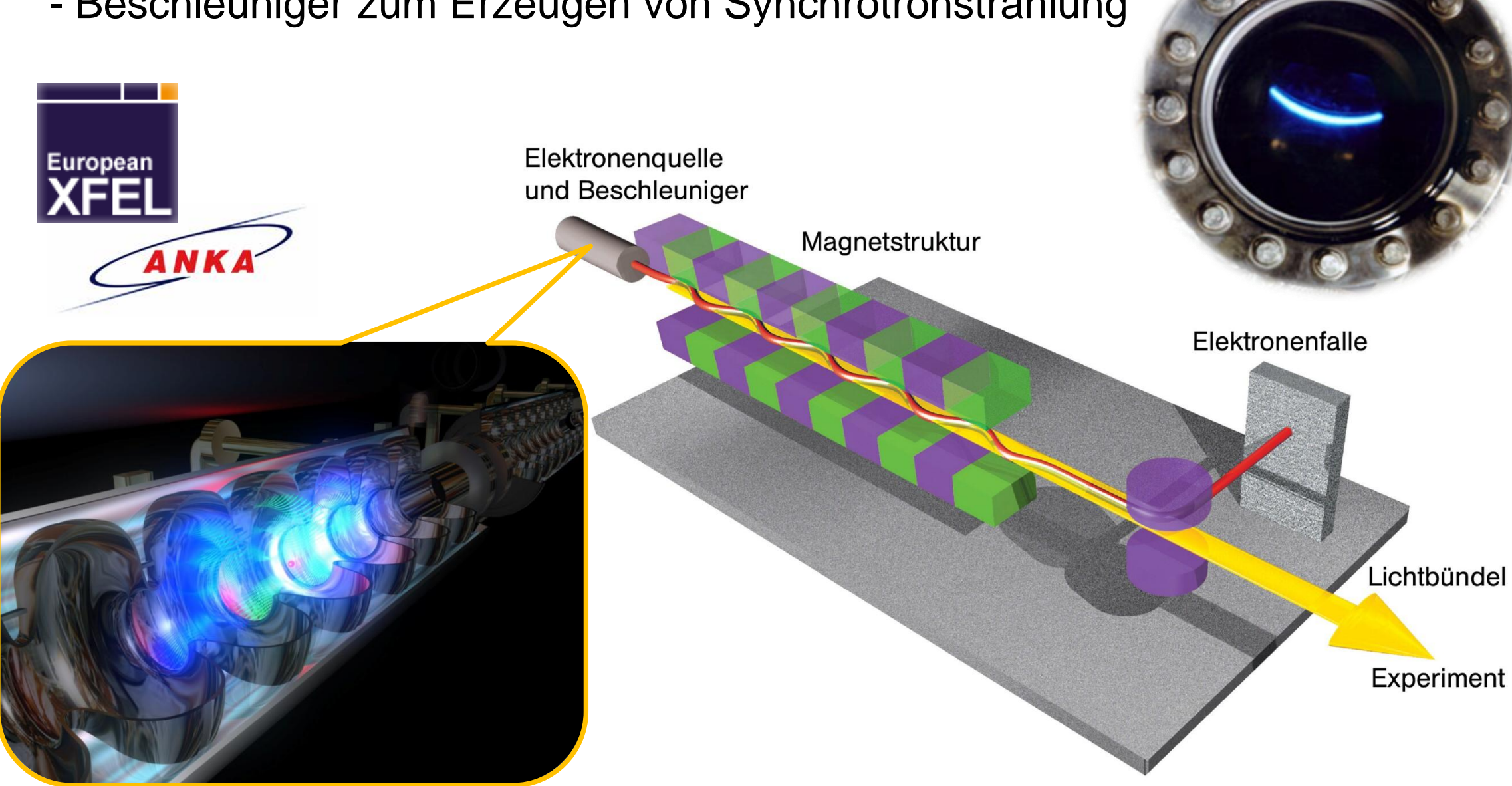
G. Drexlin – VL14 KIT-IEKP

# Wechselwirkung von geladenen Teilchen



Strahlungsverluste: Synchrotronstrahlungsquellen

- Beschleuniger zum Erzeugen von Synchrotronstrahlung



1.6.2010

### Ionisationsverluste

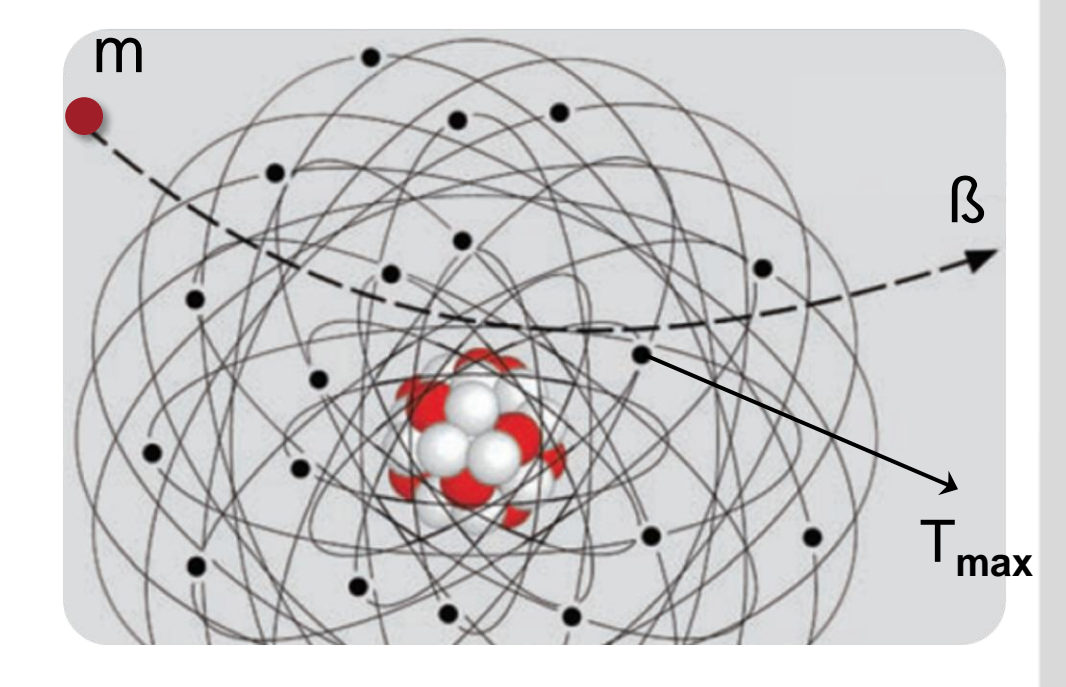


- geladene Teilchen ionisieren ein Nachweismedium durch inelastische Stöße mit den Hüllenelektronen (vorwiegend Einfachionisation, z.B. Ar+) hoher Streuquerschnitt: σ<sub>inelast.</sub> ~ 10<sup>-17</sup> – 10<sup>-16</sup> cm<sup>2</sup> ∜ zahlreiche Stöße
- maximaler Energieübertrag T<sub>max</sub> an ruhendes Elektron mit m<sub>e</sub> durch ein einlaufendes Teilchen mit Ruhemasse m und Geschwindigkeit ß:

$$T_{\text{max}} = \frac{2m_e \cdot \beta^2 \cdot \gamma^2 \cdot m^2}{m^2 + m_e^2 + 2\gamma \cdot m \cdot m_e}$$

$$T_{\text{max}} = 2m_e \cdot \beta^2 \cdot \gamma^2$$
 für alle schweren Primärteilchen

in hinreichend dicken Absorbern wird ein Großteil der Teilchen-Primärenergie in ein Ionisationssignal umgewandelt



### Ionisationsverluste: Bethe-Bloch



Bethe-Bloch Gleichung mittlerer Energieverlust dE/dx von geladenen (q=z) Teilchen mit ß=v/c

$$-\frac{dE}{dx} = 4\pi \cdot r_e^2 \cdot N_0 \cdot m_e c^2 \cdot \frac{Z}{A} \cdot \frac{1}{\beta^2} \cdot z^2 \cdot \left[ \ln \left( \frac{2m_e c^2 \beta^2}{I \cdot (1 - \beta^2)} \right) - \beta^2 - \frac{\delta}{2} \right]$$

 $= 0.307 \text{ MeV g}^{-1} \text{ cm}^{2}$ 





δ: Polarisation des Mediums

Target: Kernladung Z Atomgewicht A I = effektives Ionisationspotenzial
 des Target-Atoms, experimentell
 beobachtet: I ~ Z · 12 eV (große Z)

Targetparameter: Kernladung Z, Kernmasse A, effektives Ionisations-Potenzial /

Teilchenparameter: Geschwindigkeit ß, Ladung z

Konstanten: klass. Elektronenradius r<sub>e</sub>

Elektronmasse me, Avogadrozahl No





**Hans Bethe** 

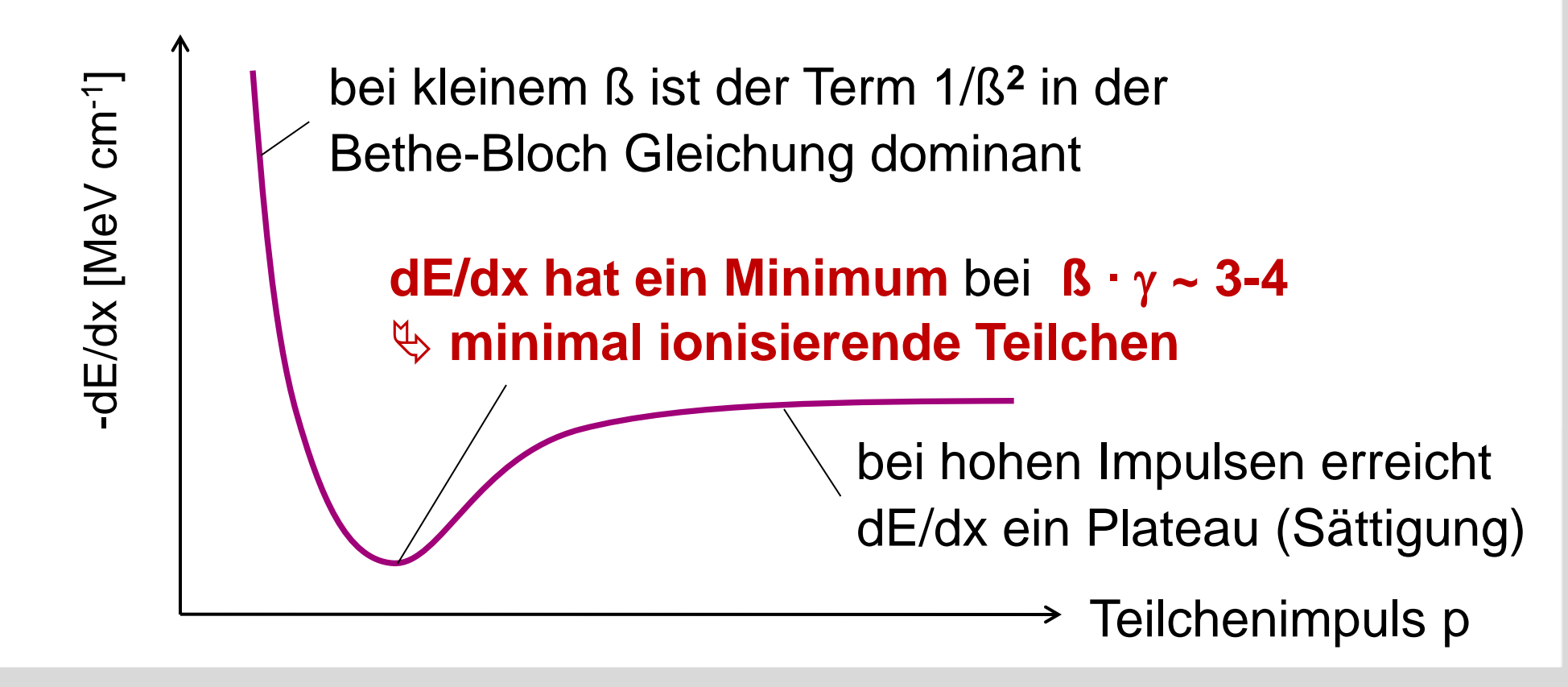
**Felix Bloch** 

### Ionisationsverluste: Bethe-Bloch



■ Anwendungsbereich von Bethe-Bloch: Teilchengeschwindigkeit  $\[mathbb{B}\]$  > Geschwindigkeit der Hüllenelektronen der Targetatome ( $\[mathbb{v}\]$  ~  $\[mathbb{Z}\]$  ·  $\[mathbb{\alpha}\]$ 

$$-\frac{dE}{dx} = 4\pi \cdot r_e^2 \cdot N_0 \cdot m_e c^2 \cdot \frac{Z}{A} \cdot \frac{1}{\beta^2} \cdot z^2 \cdot \left[ \ln \left( \frac{2m_e c^2 \beta^2}{I \cdot (1 - \beta^2)} \right) - \beta^2 - \frac{\delta}{2} \right]$$



### Ionisationsverluste: Bethe-Bloch Kurve



der Energieverlust eines Teilchens ist unabhängig von seiner Masse!

dE/dx nur abhängig von der Teilchengeschwindigkeit ß, typischerweise wird dE/dx aber als Funktion des Impulses p dargestellt, wobei gilt:

p = β·γ·Μ·c

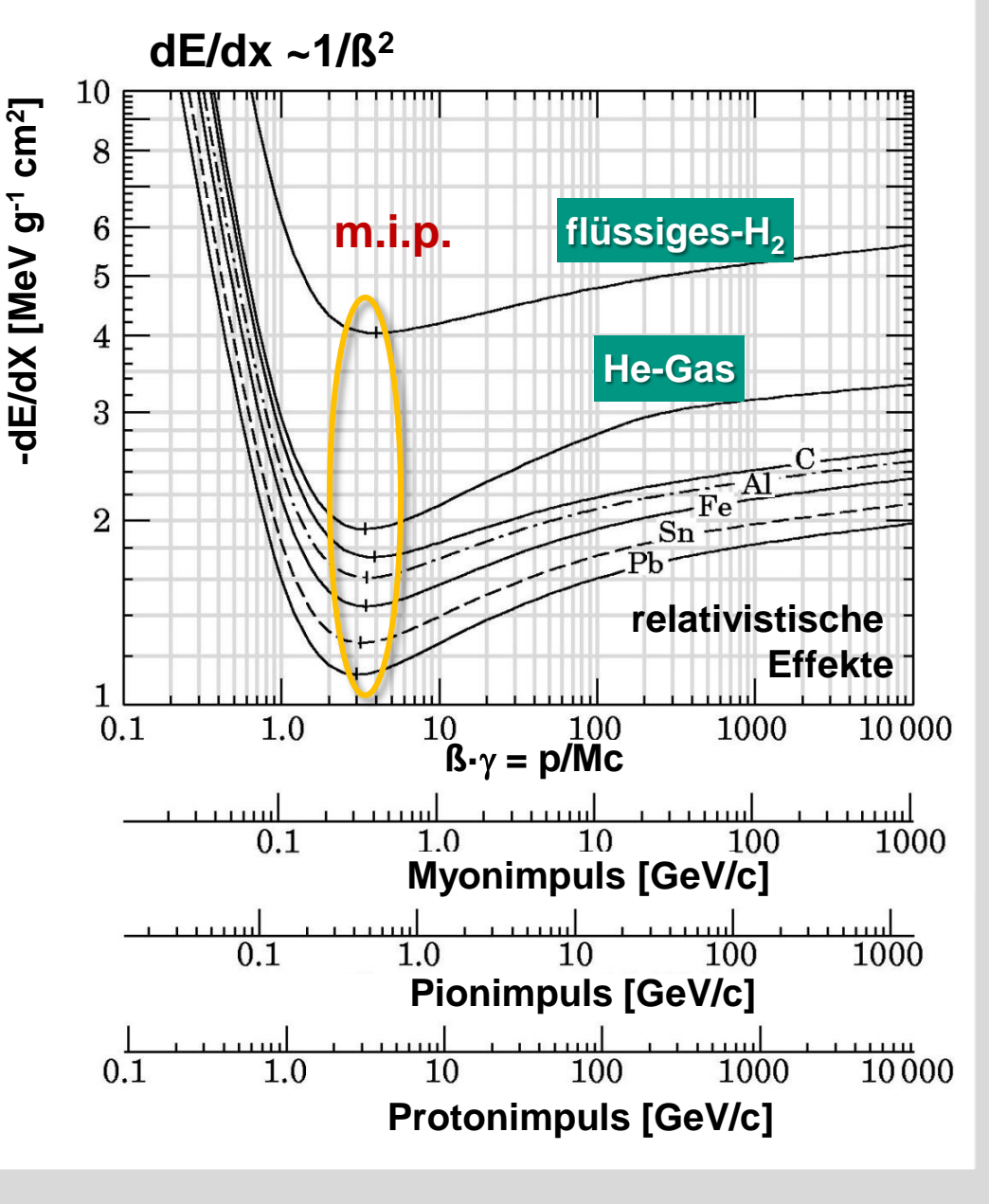
im Bereich minimaler Ionisation gilt für m.i.p. = minimum ionizing particles

 $dE/dX \sim 2 MeV g^{-1} cm^2$ 

d.h. bei einer Targetdichte  $\rho = 1$  g/cm<sup>3</sup>

dE/dx ~ 2 MeV/cm

wichtiges Beispiel: kosmische Myonen



# Bremsvermögen & Abschirmung



#### Massenbelegung X

bei der Diskussion von Energieverlustprozessen wird statt der Schichtdicke x des Materials [cm] oft auch die **Massenbelegung**  $X = \rho \cdot x$  in **[g/cm²]** mit der stoff-spezifischen Dichte  $\rho$  in [g/cm³] benutzt

### ■ Bremsvermögen dE/dX

mit der differenziellen Relation  $dX = \rho \cdot dx$  ergibt sich für das Bremsvermögen dE/dX in [MeV  $g^{-1}$  cm<sup>2</sup>]:

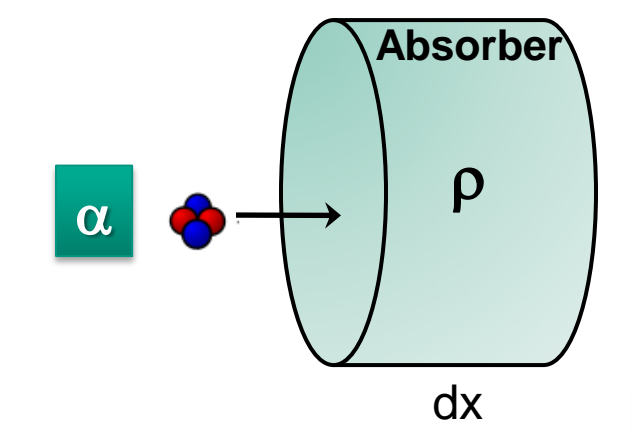
$$\frac{dE}{dX} = \frac{1}{\rho} \cdot \frac{dE}{dx}$$

26

Bremsvermögen dE/dX in [MeV g<sup>-1</sup> cm<sup>2</sup>]

Energieverlust dE/dx in [MeV cm<sup>-1</sup>]

Bremsvermögen dE/dX ist für alle Medien (außer H) nahezu identisch, da in BB-GI. der Term Z/A ~ const.



der lonisationsverlust dE/dx von Teilchen kann auch zur Abschirmung benutzt werden (Bsp: ν-Strahlen)

### **Teilchenidentifikation**

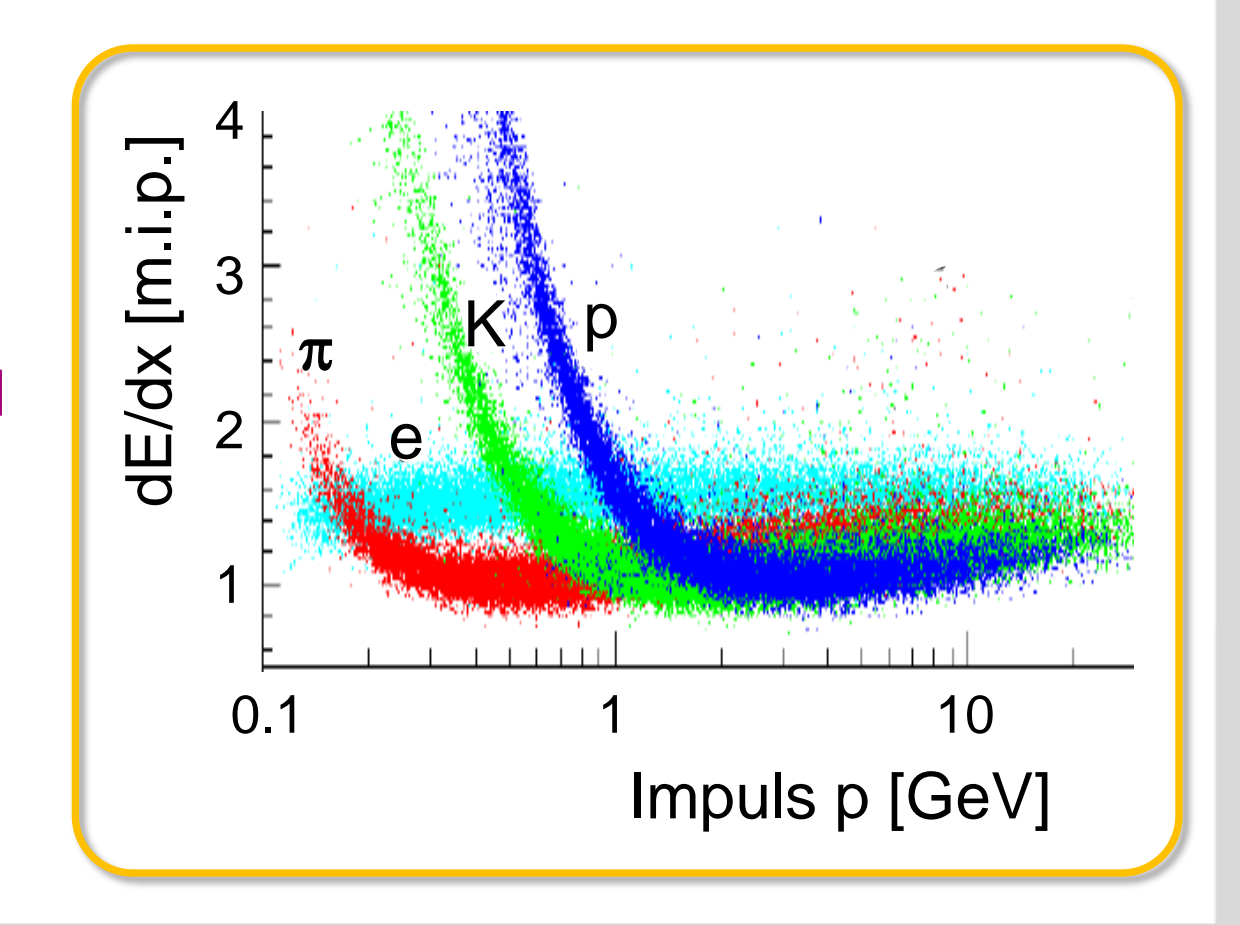


- der Energieverlust dE/dx ist ein wichtiges Mittel zur Teilchenidentifikation (Particle Identification PID), wenn mehrere Teilchenarten vorliegen:
  - dE/dx entspricht mit Bethe-Bloch implizit einer Messung des Parameters ß
  - mit der Definition des relativistischen Impulses p

$$p = \beta \cdot \gamma \cdot M \cdot c = \frac{\beta}{\sqrt{1 - \beta^2}} \cdot M \cdot c$$

ergibt sich nach einer von dE/dx unabhängigen Messung des Impulses p die Teilchenmasse M und damit die Identifikation des untersuchten Teilchens

 der Energieverlust dE/dx eines Teilchens ist immer statistischen Fluktuationen unterworfen (PID!)



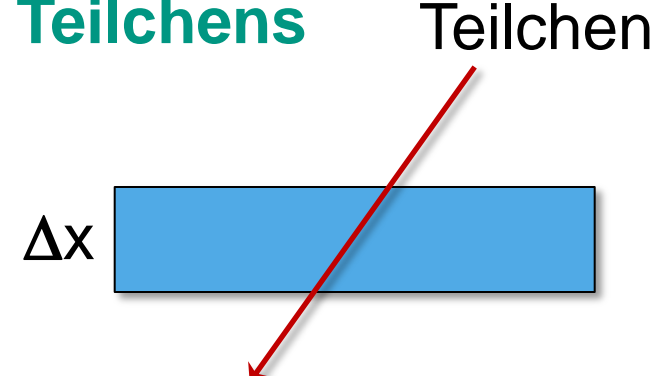
### Energieverlustverteilung: Landaukurve



#### Bethe-Bloch Formel:

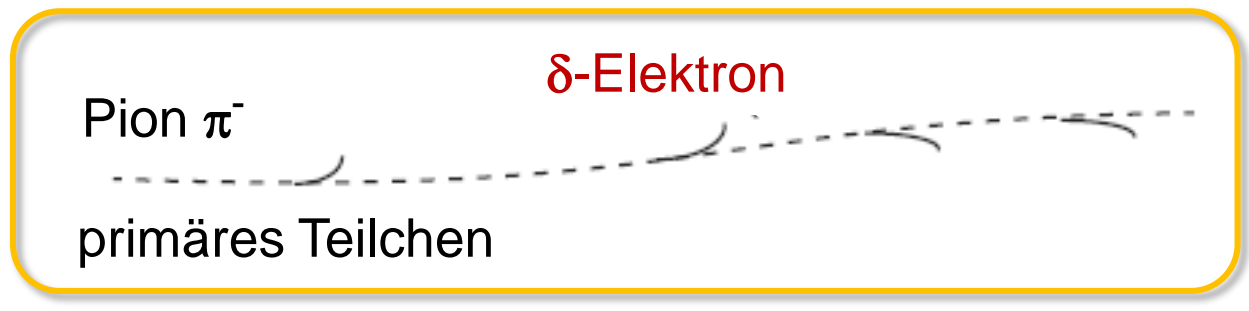
- beschreibt den mittleren Energieverlust <E> eines Teilchens

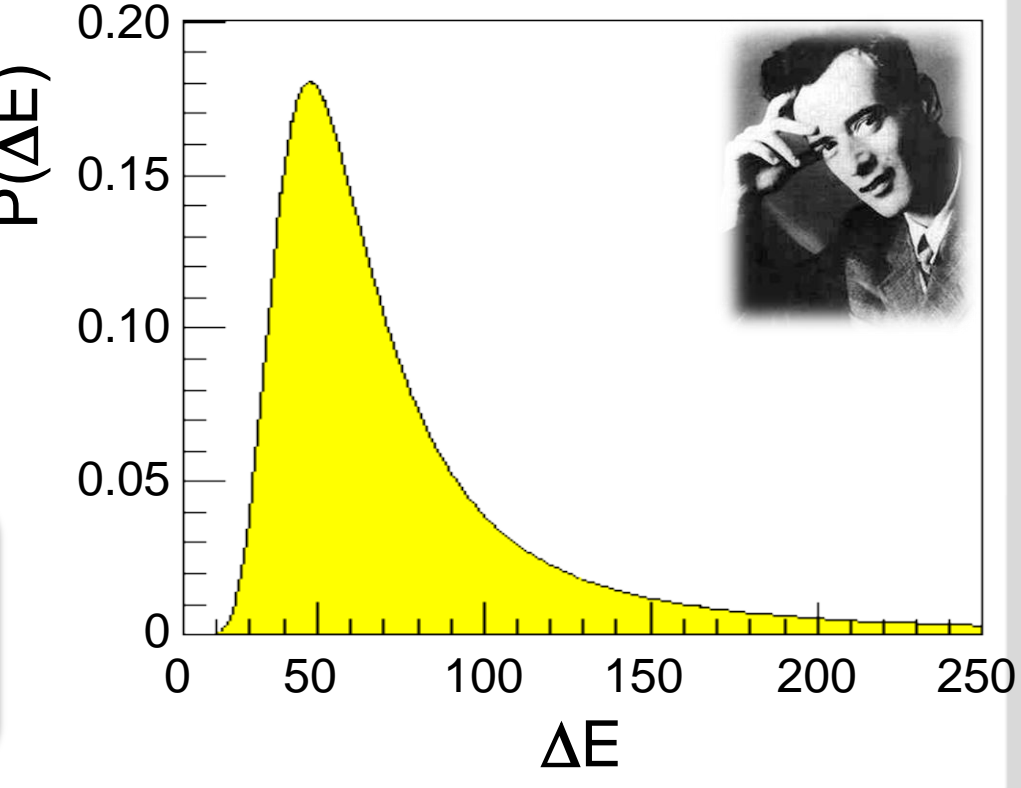
 inelastische Streuungen an Hüllenelektronen sind statistische Prozesse: zentrale Stöße (großes ΔΕ) sind seltener als periphere Stöße (kleines ΔΕ)



#### Landau-Vavilov Verteilung:

- beschreibt Energieverlustverteilung für einen dünnen Absorber
- asymmetrische Verteilung mit einem Ausläufer hin zu hohen dE/dx Werten
- Asymmetrie durch Stöße mit kleinem Stoßparameter ("δ-Elektronen")





### Energieverlustverteilung: Landaukurve



#### Landau-Vavilov Verteilung:

- eine analytische Näherung der Landau-Vavilov-Verteilung ergibt sich durch die Moyal-Funktion  $X(\lambda)$ 

$$\mathbf{X}(\lambda) = a \cdot e^{-\frac{1}{2}(\lambda - e^{-\lambda})}$$
 a = Höhe b = Breite

Energieparameter  $\lambda = (\Delta E - \Delta E_{mp}) / b$   $\Delta E_{mp} = \text{wahrscheinlichster}$ Energieverlust

Standardabweichung σ der Energieverlustverteilung (falls 13.3 · β<sup>4</sup> · γ<sup>2</sup> << Δx):</li>

$$\sigma[MeV] \approx \gamma \cdot \sqrt{0.07 \cdot \Delta x \left[g \cdot cm^{-2}\right]}$$

